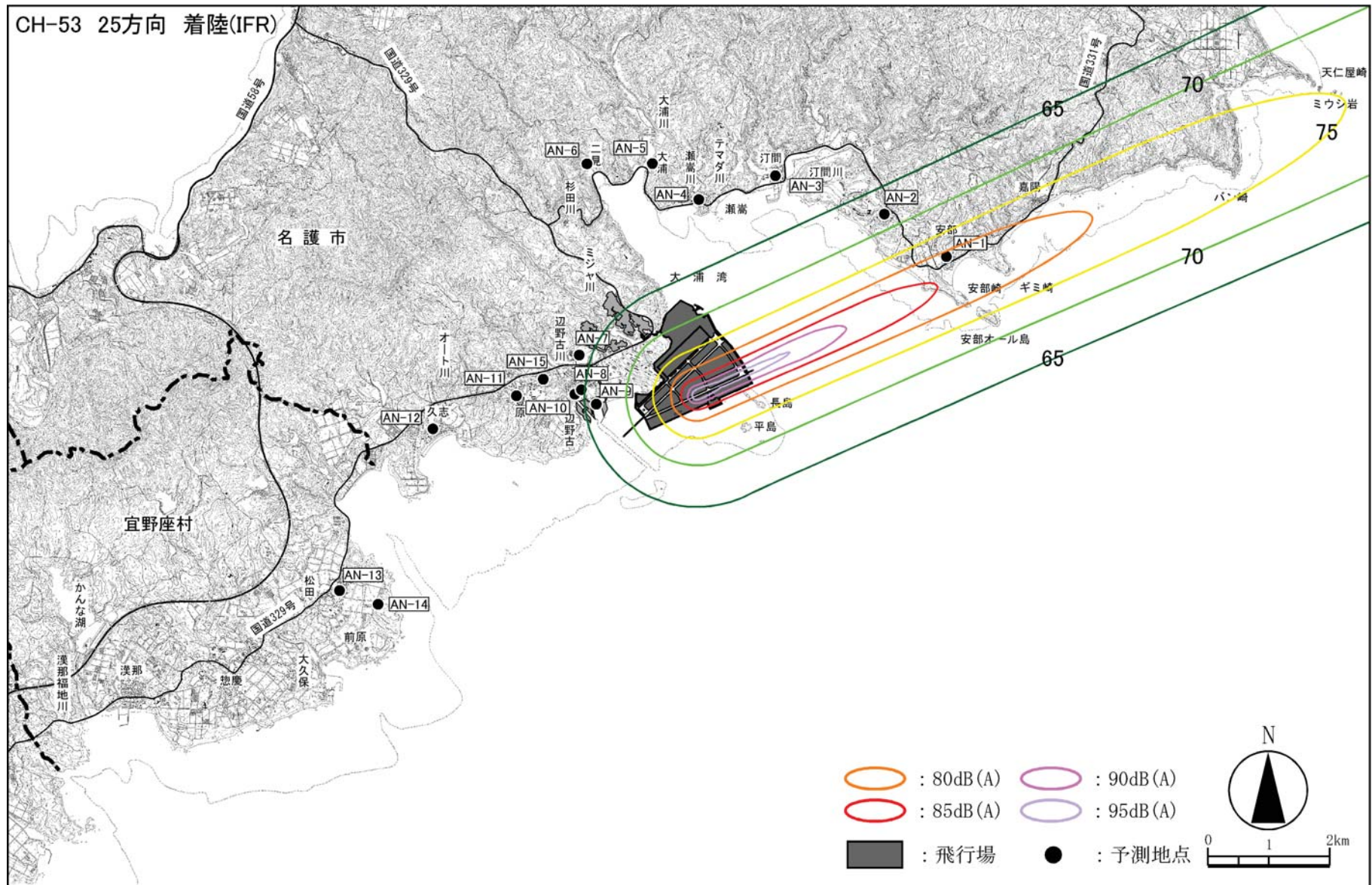
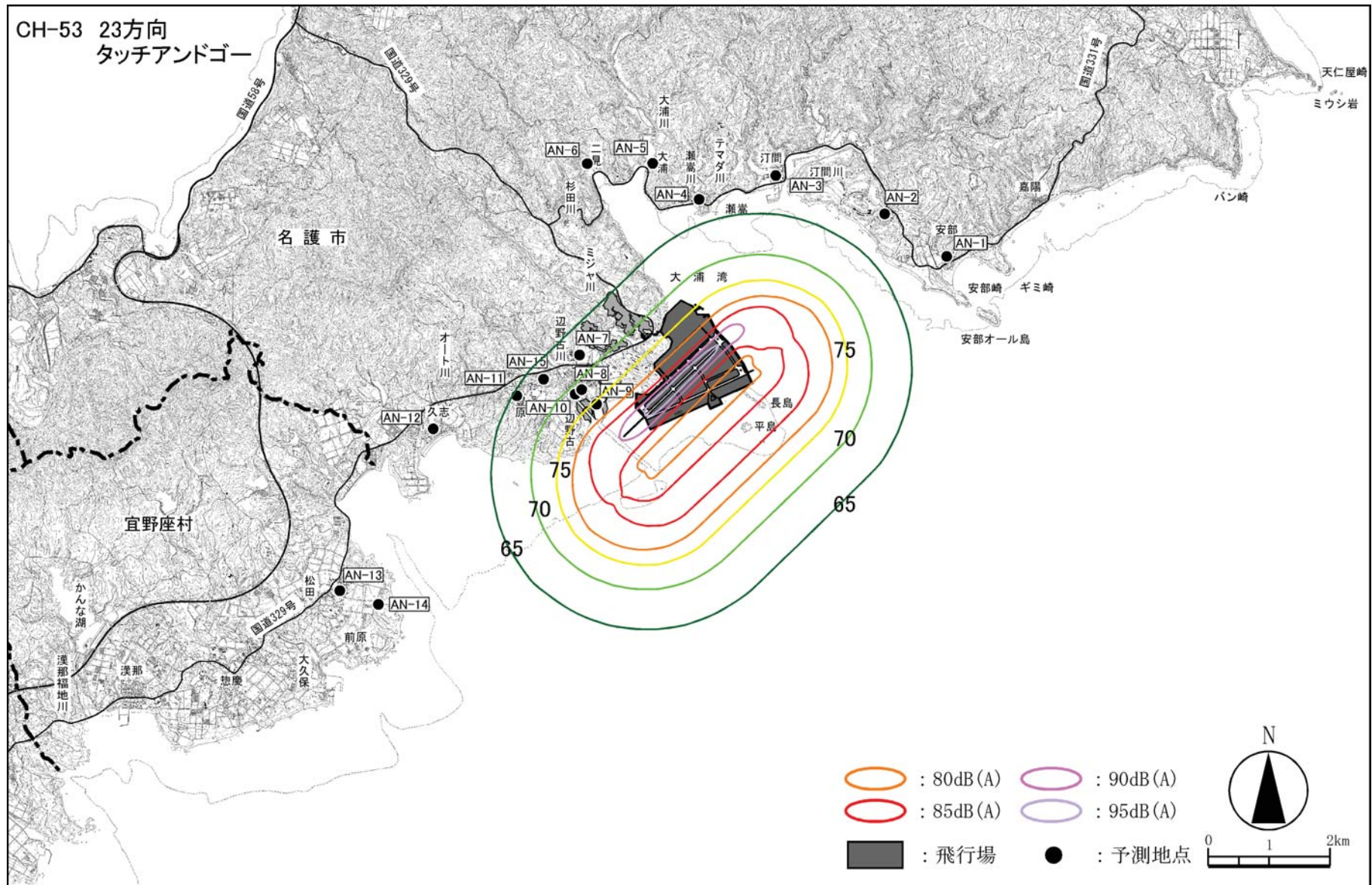


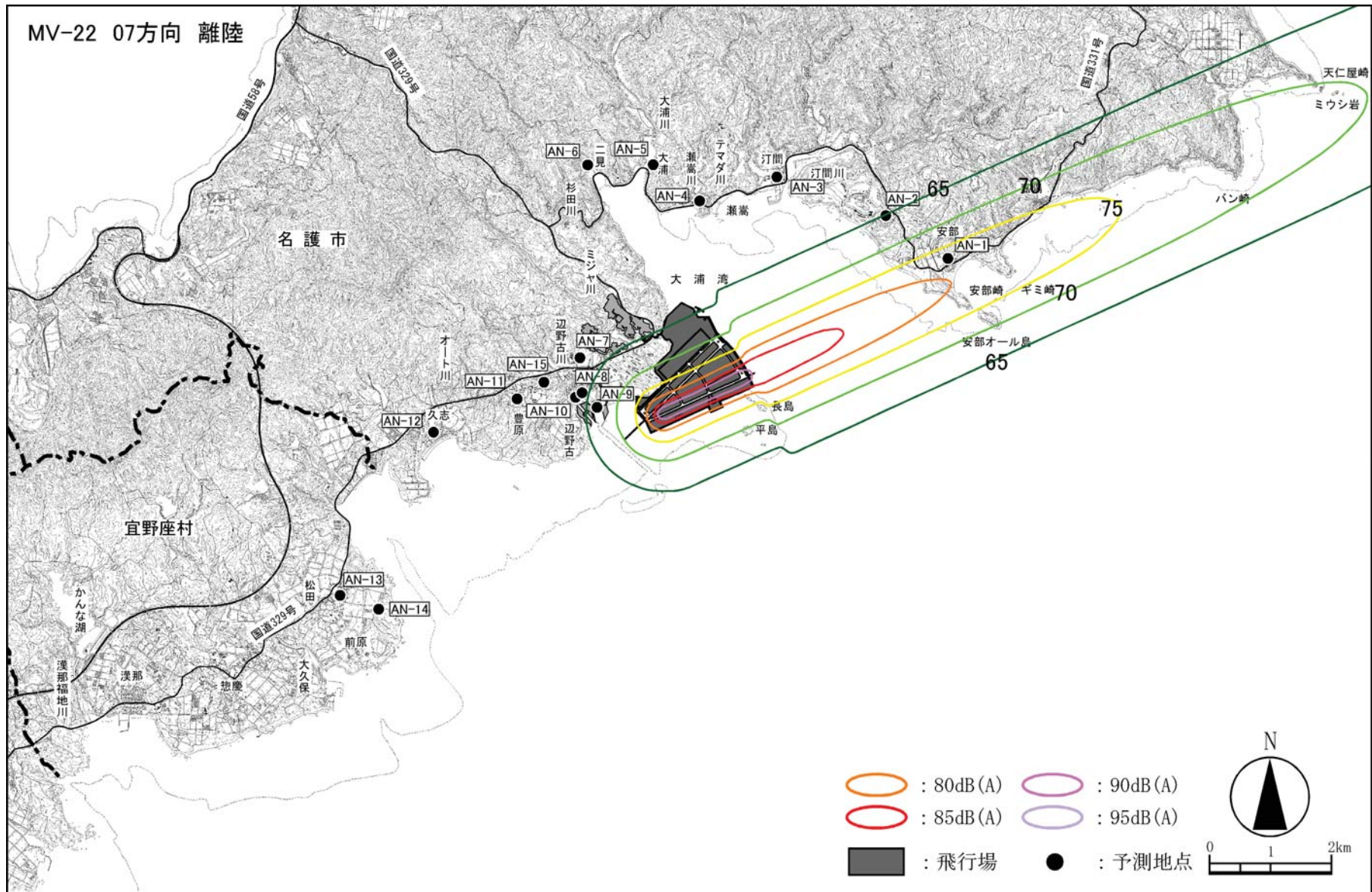
参考図-6.3.8 CH-53の飛行時におけるピーク騒音レベル(Lmax)予測コンター(25方向着陸(VFR))



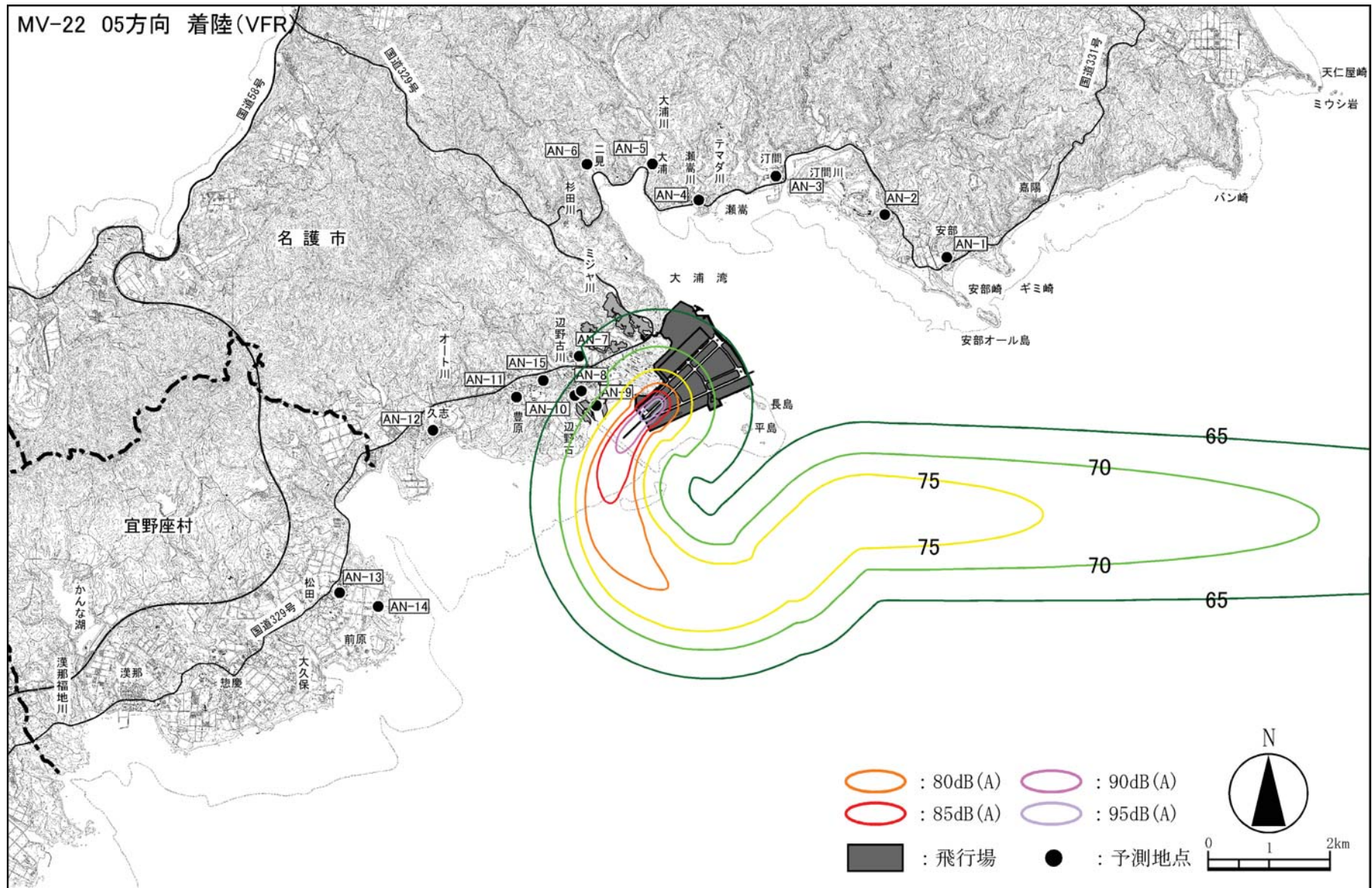
参考図-6.3.9 CH-53の飛行時におけるピーク騒音レベル(LAmax)予測コンター(25方向着陸(IFR))



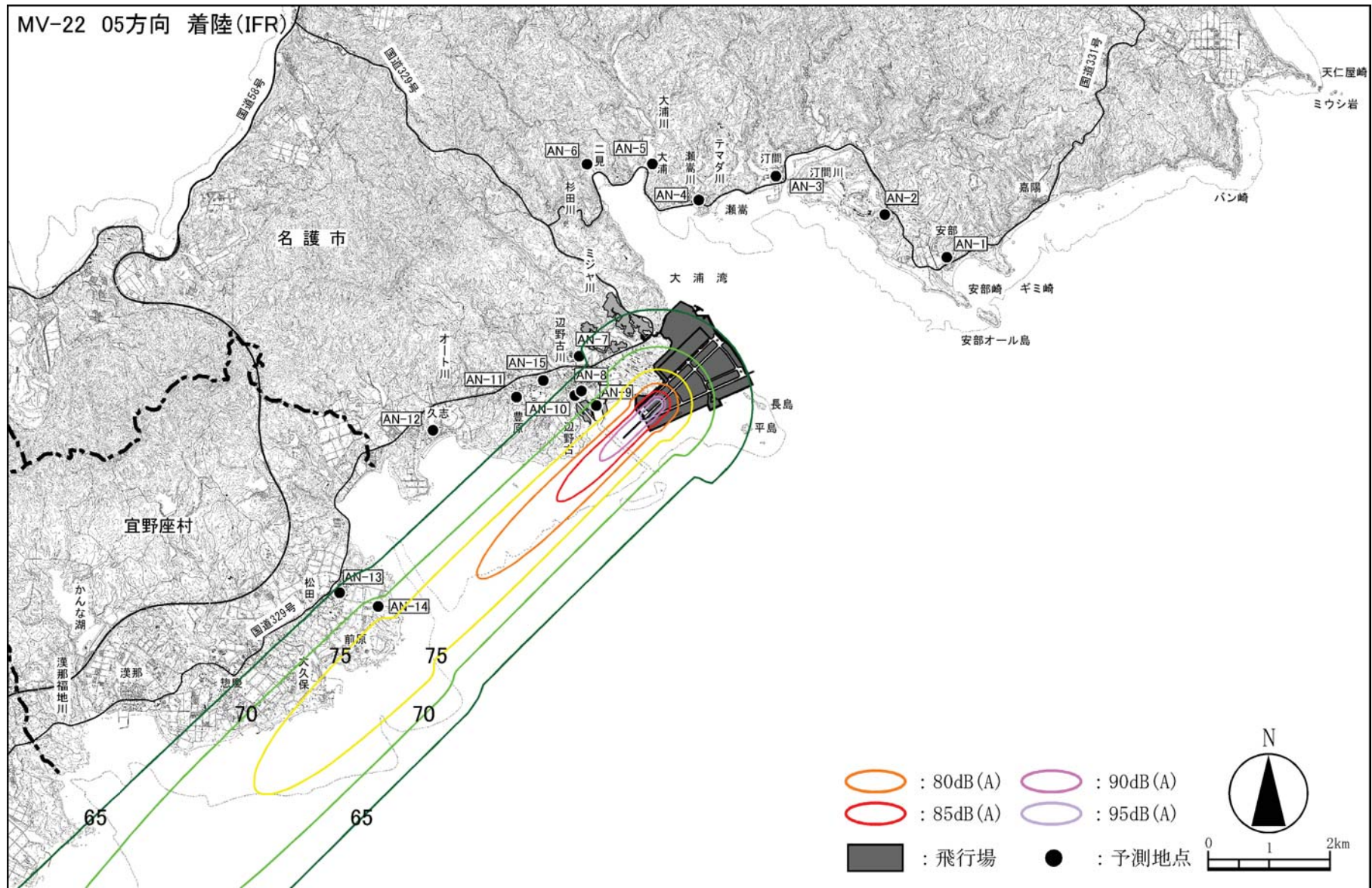
参考図-6.3.10 CH-53の飛行時におけるピーク騒音レベル(LAmax)予測コンター(23方向タッチアンドゴー)



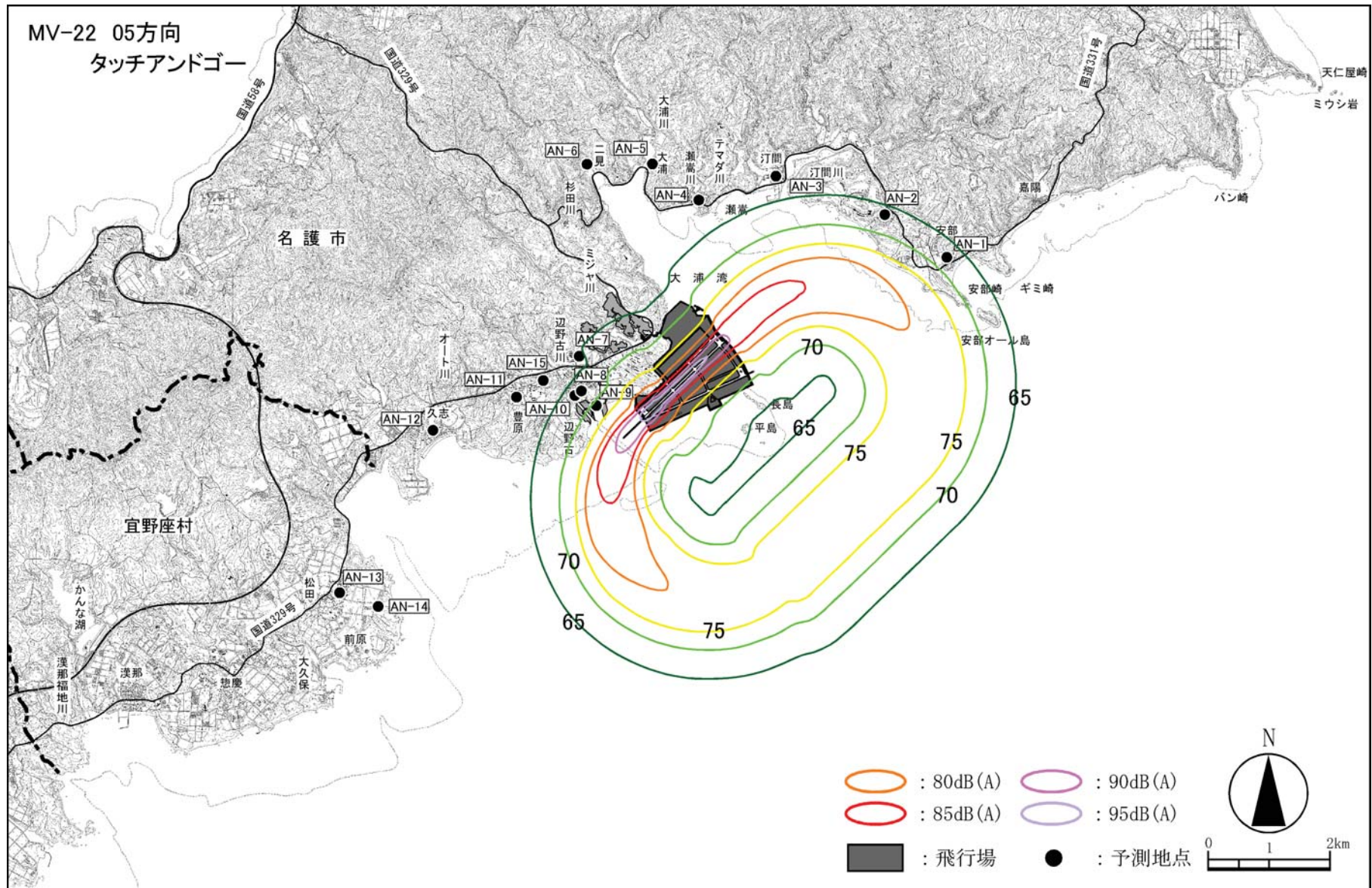
参考図-6.3.12 MV-22の飛行時におけるピーク騒音レベル(LAmax)予測コンター(07方向離陸)



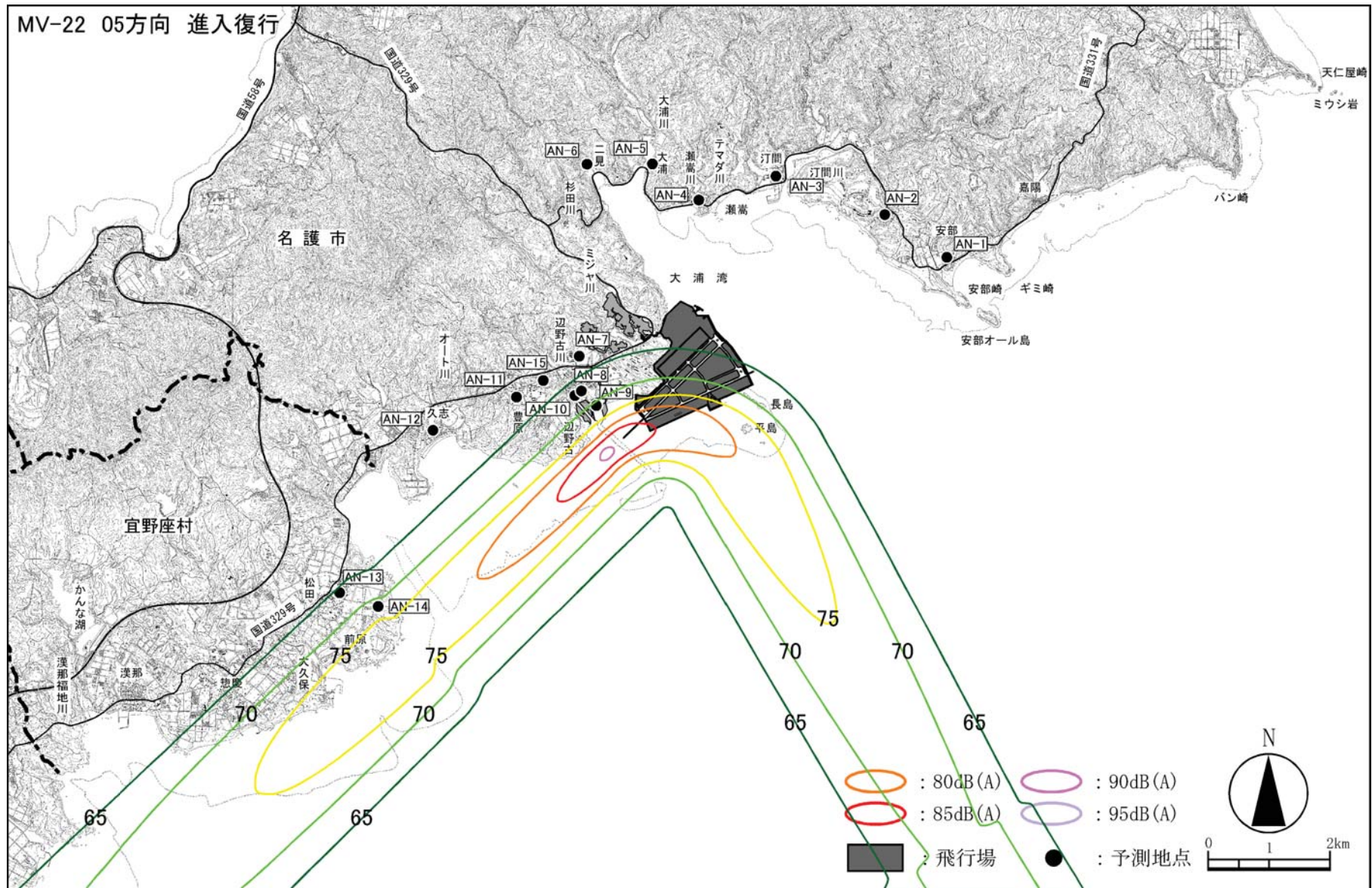
参考図-6.3.13 MV-22の飛行時におけるピーク騒音レベル(LAmax)予測コンター(05方向着陸(VFR))



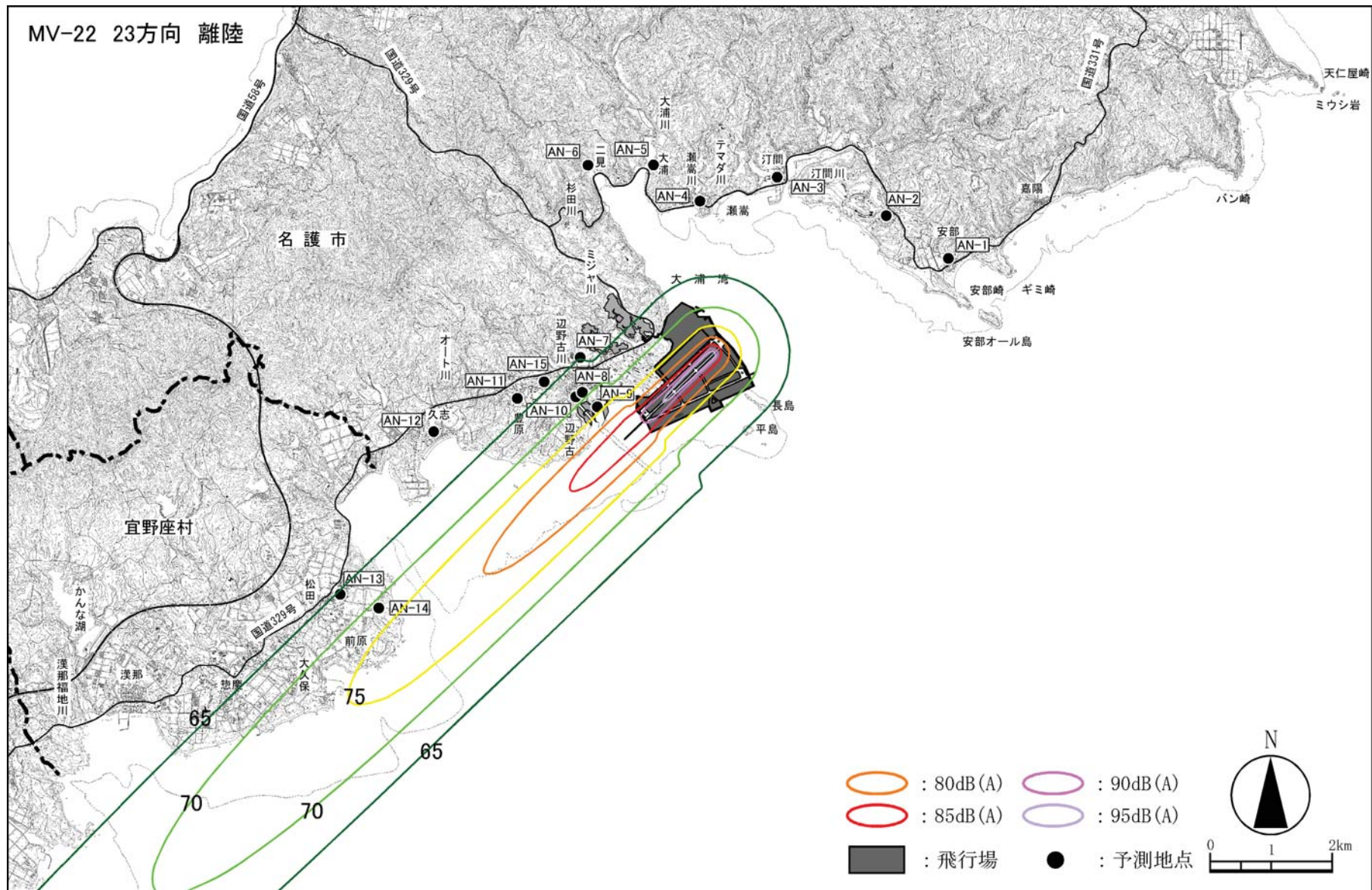
参考図-6.3.14 MV-22 の飛行時におけるピーク騒音レベル (Lmax) 予測コンター (05 方向着陸 (IFR))



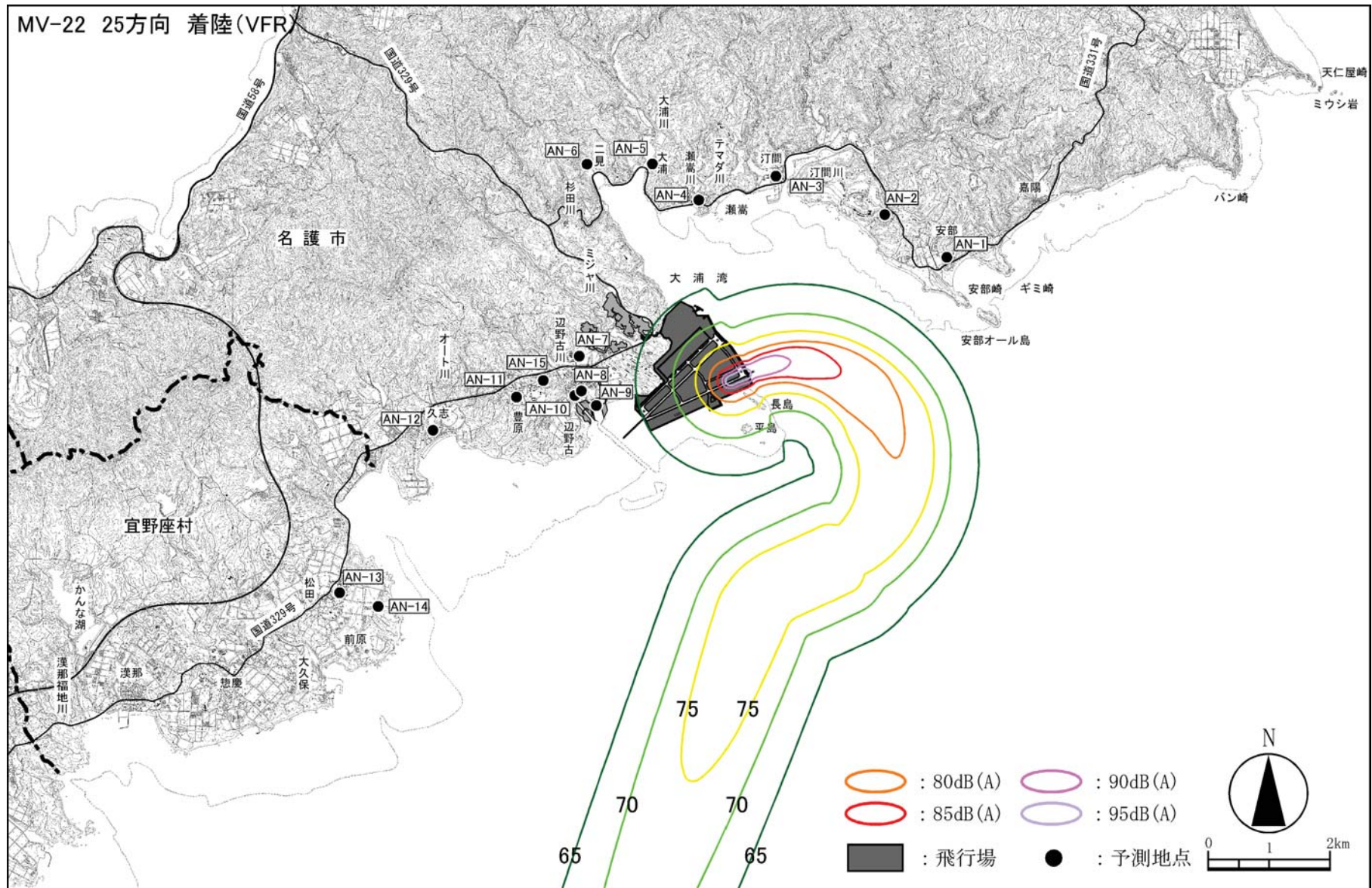
参考図-6.3.15 MV-22 の飛行時におけるピーク騒音レベル (L_{Amax}) 予測コンター (05 方向タッチアンドゴー)



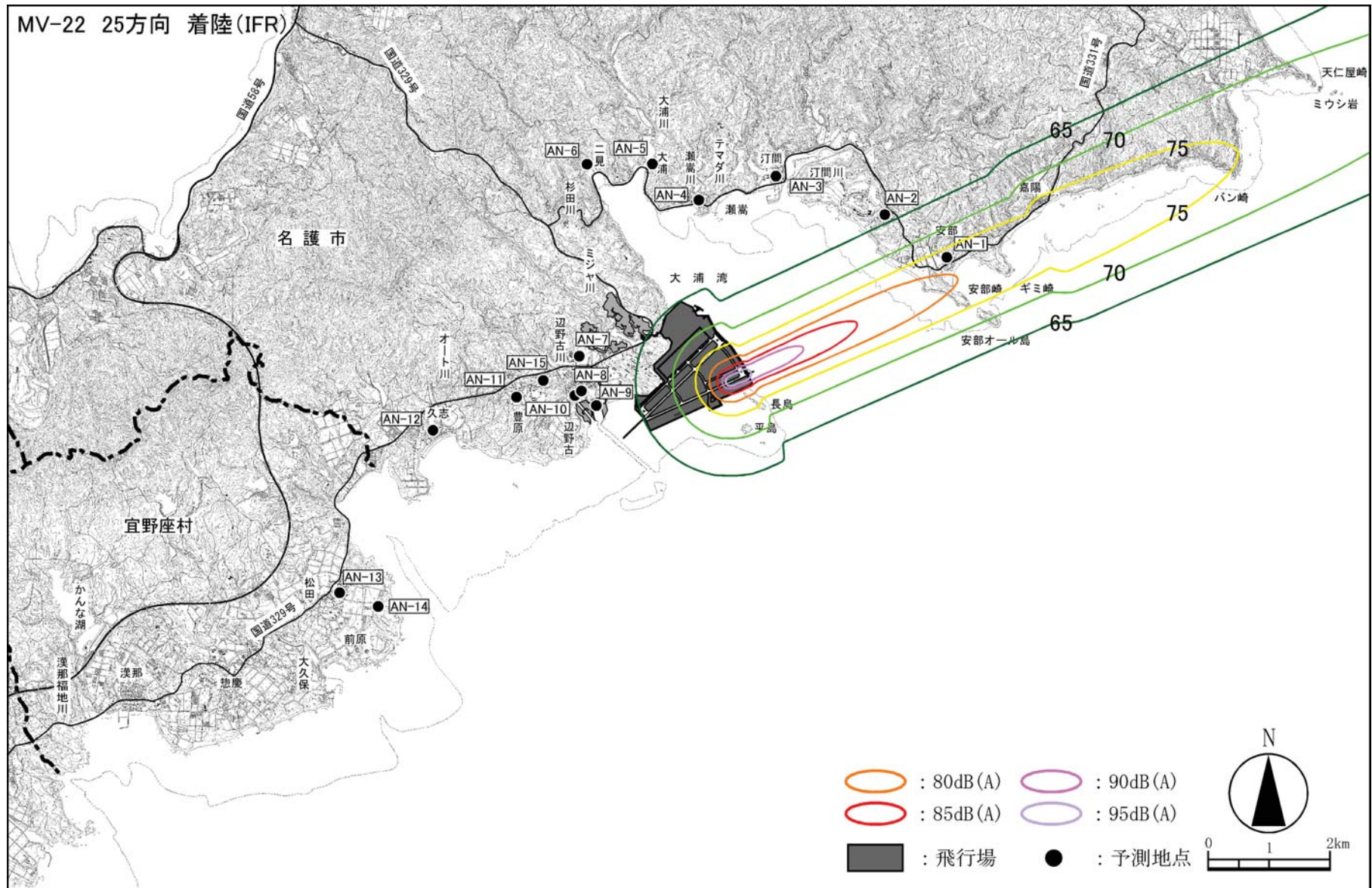
参考図-6.3.16 MV-22 の飛行時におけるピーク騒音レベル (L_{Amax}) 予測コンター (05 方向進入復行)



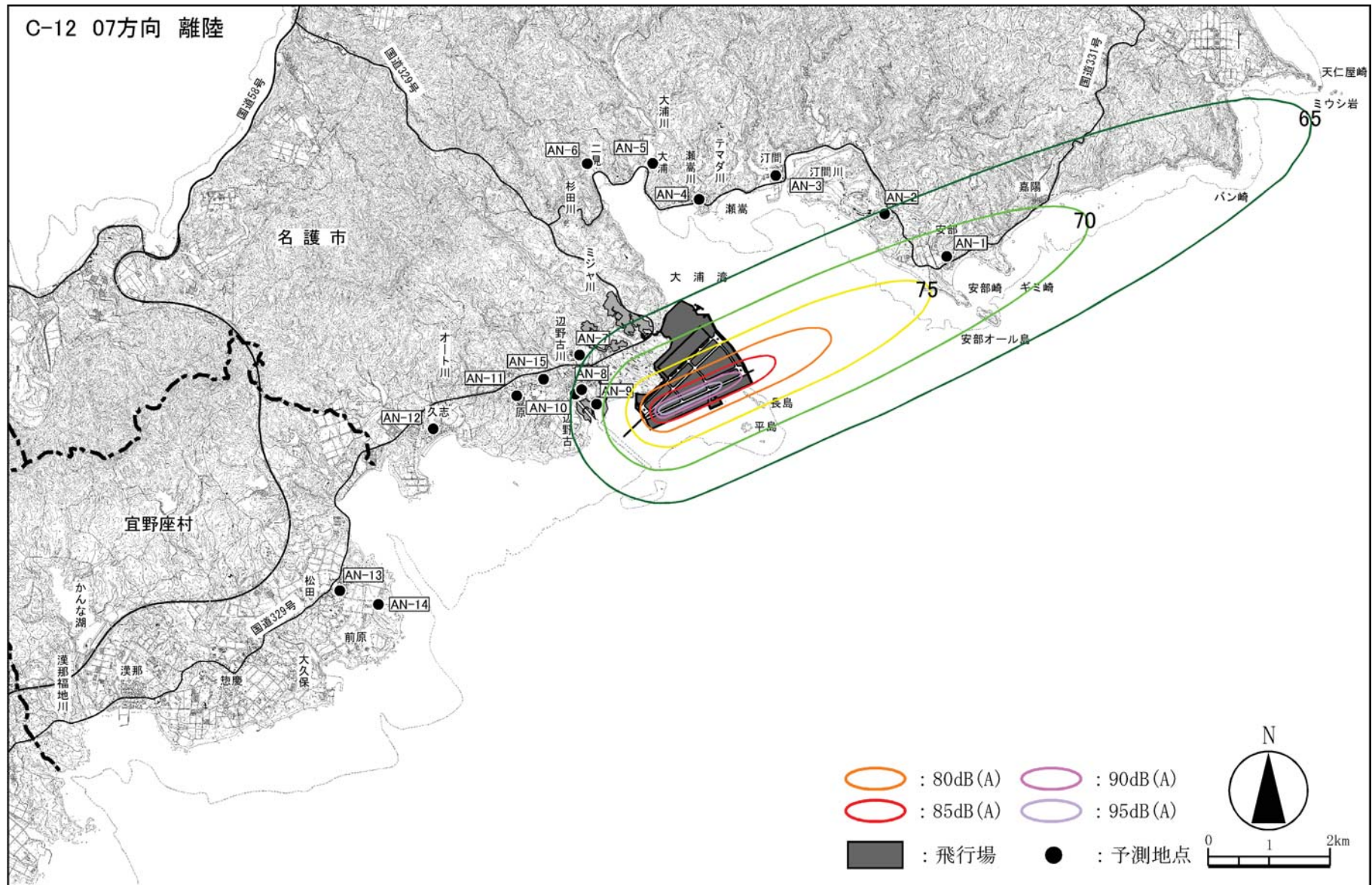
参考図-6.3.17 MV-22 の飛行時におけるピーク騒音レベル (Lmax) 予測コンター (23 方向離陸)



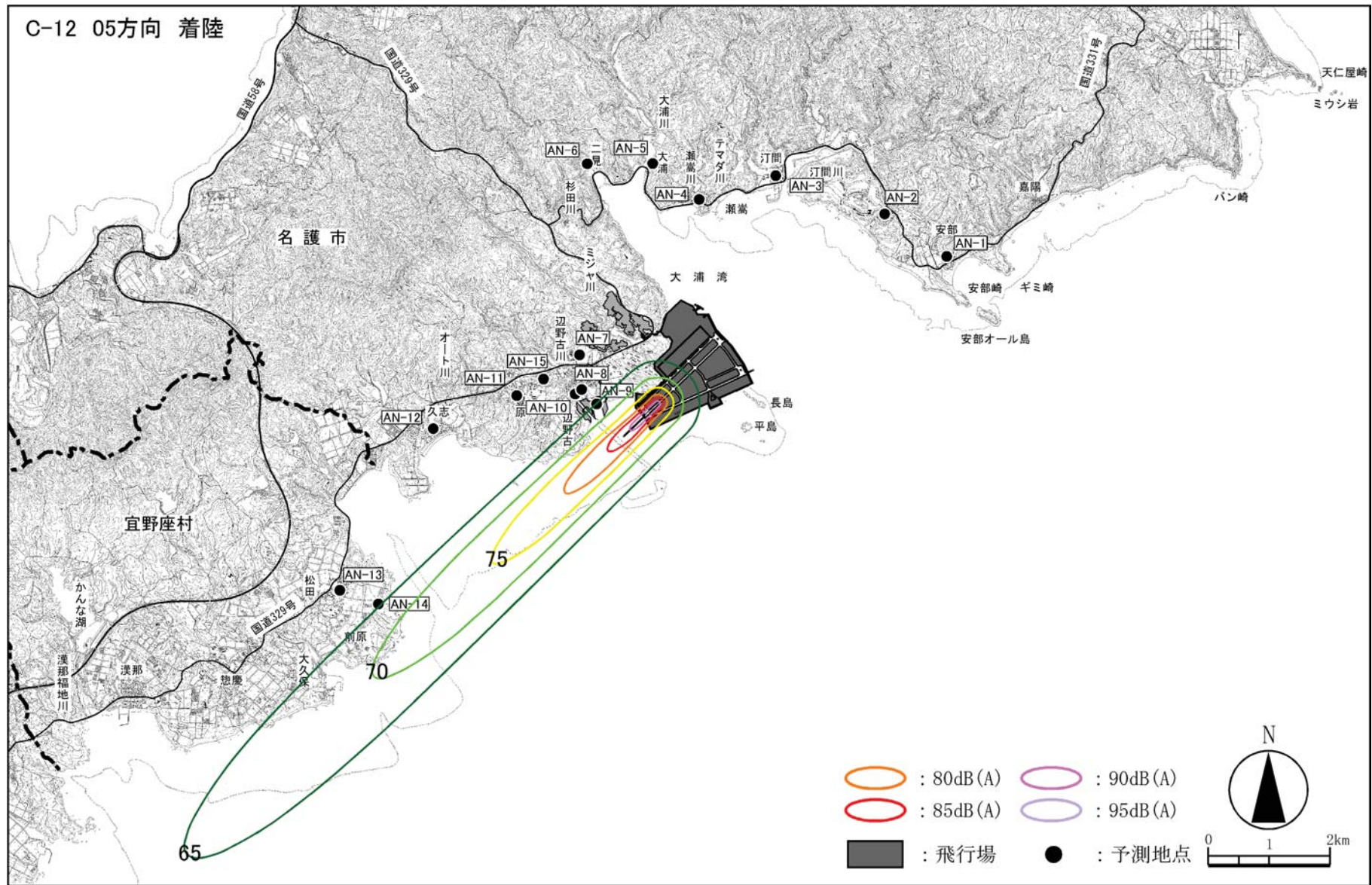
参考図-6. 3. 18 MV-22 の飛行時におけるピーク騒音レベル (L_{Amax}) 予測コンター (25 方向着陸 (VFR))



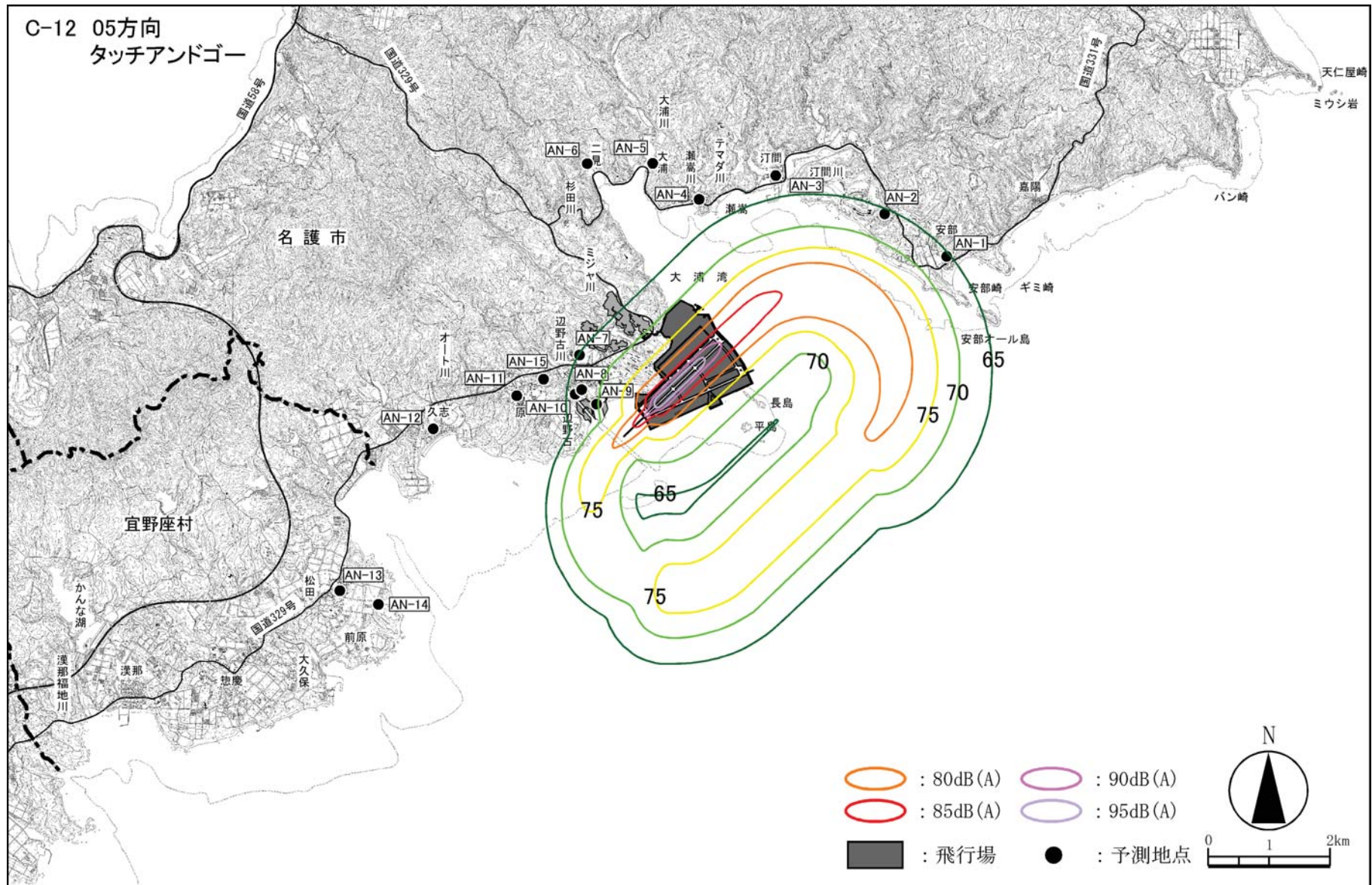
参考図-6.3.19 MV-22 の飛行時におけるピーク騒音レベル (L_{Amax}) 予測コンター (25 方向着陸 (IFR))



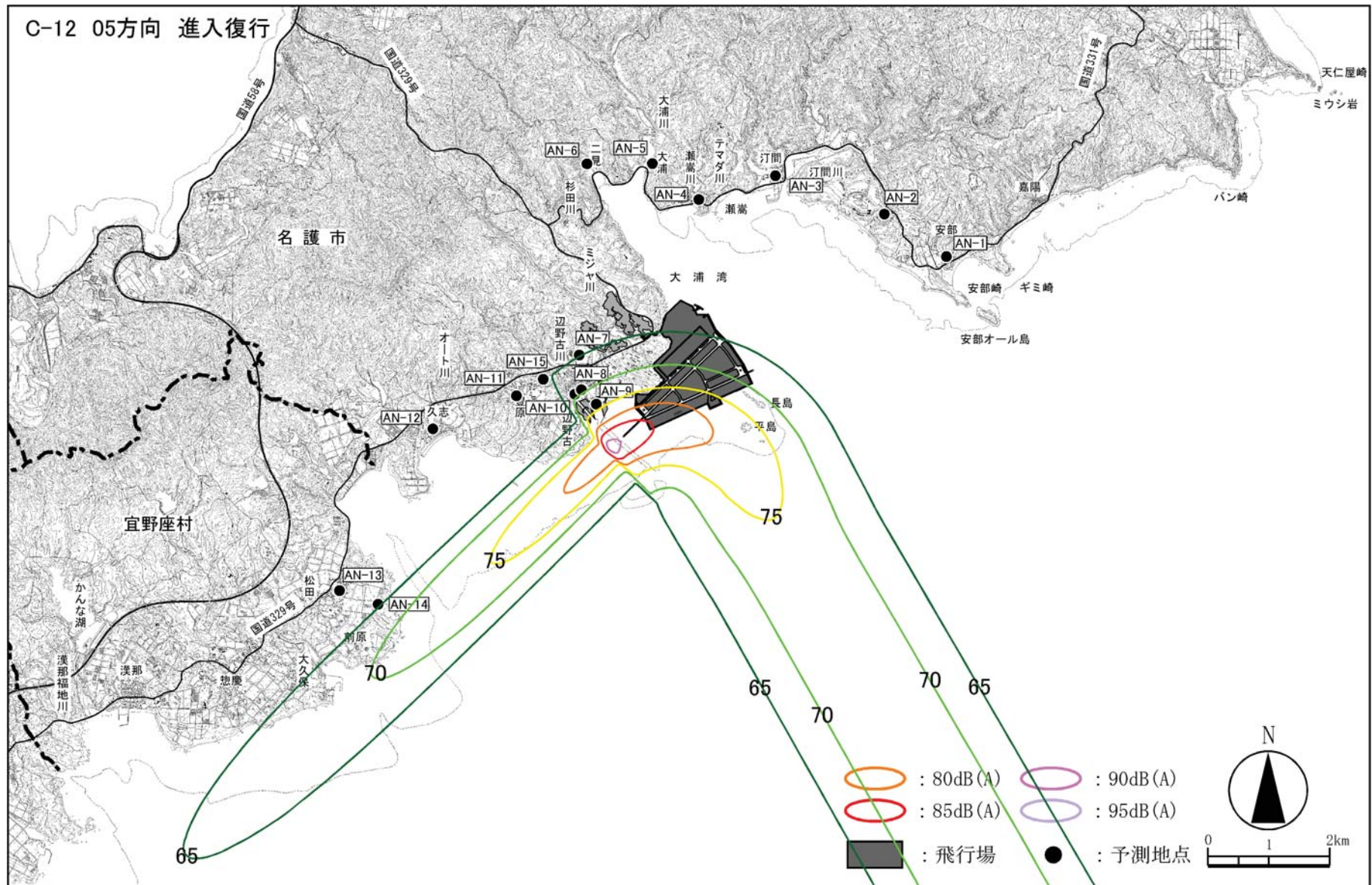
参考図-6.3.22 C-12の飛行時におけるピーク騒音レベル(LAmax) 予測コンター (07方向離陸)



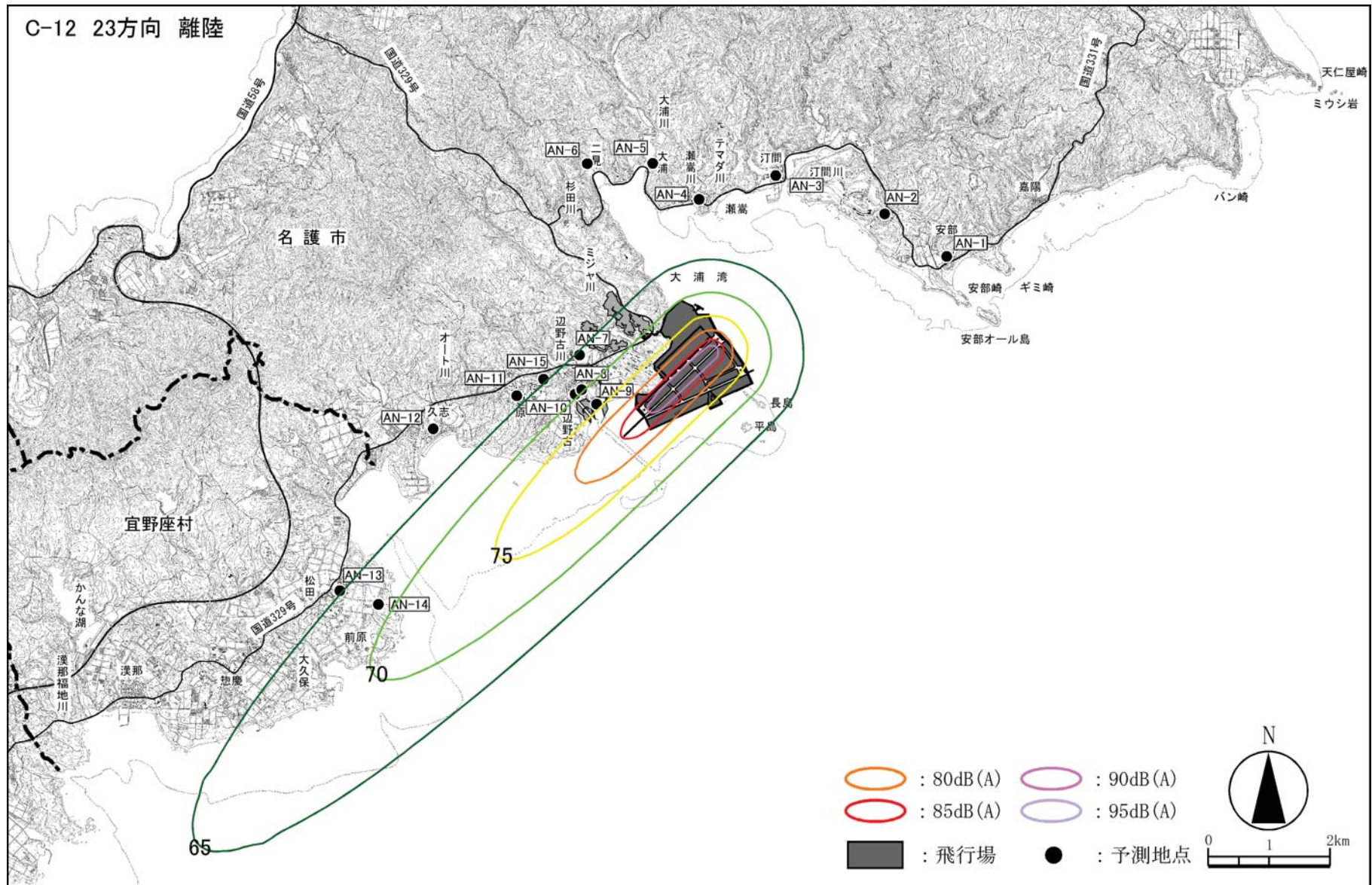
参考図-6. 3. 23 C-12 の飛行時におけるピーク騒音レベル (L_{Amax}) 予測コンター (05 方向着陸)



参考図-6.3.24 C-12 の飛行時におけるピーク騒音レベル (Lmax) 予測コンター (05 方向タッチアンドゴー)



参考図-6.3.25 C-12 の飛行時におけるピーク騒音レベル (L_{Amax}) 予測コンター (05 方向進入復行)



参考図-6.3.26 C-12の飛行時におけるピーク騒音レベル(Lmax)予測コンター(23方向離陸)